

جغرافیا و آمایش شهری - منطقه‌ای، شماره ۲۱، زمستان ۹۵

وصول مقاله : ۹۵/۲/۲۲

تأیید نهایی : ۹۵/۹/۴

صفحات : ۱۲۵-۱۳۸

پهنه‌بندی آسیب‌پذیری مناطق شهری در برابر زلزله با استفاده از تکنیک WLC و OWA مورد شناسی: منطقه ۷ تهران

رؤیا رمضانی کیاسچ محله^۱، دکتر سعید کریمی^۲، فاطمه سادات علوی پور^۳

چکیده

زلزله یکی از عوامل مخرب و تهدیدکننده حیات انسانی است که همه ساله خسارت‌های جانی و مالی زیادی بر کشورها به ویژه کشورهای در حال توسعه وارد می‌سازد. کشور ایران نیز به دلیل ساختار طبیعی مخاطره آمیزش از این قاعده مستثنی نبوده است؛ به طوری که بیشتر شهرهای ایران روی خط زلزله قرار دارند و تهران به عنوان بزرگترین کلان شهر ایران به واسطه وجود گسل‌های فعال در اطرافش با ریسک بالایی روبروست. بنابراین با توجه به اینکه روش شناخته شده‌ای برای تعییر مکانیسم زلزله وجود ندارد و هنوز نمی‌توان به طور دقیق زمان و مکان وقوع زلزله را تخمین زد، می‌توان با شناسایی نقاط آسیب‌پذیر، پهنه‌بندی و سیاست‌گذاری صحیح، خسارت‌های ناشی از زلزله را کاهش داد. در این پژوهش به منظور پهنه‌بندی آسیب‌پذیری منطقه ۷ تهران در برابر زلزله: ۱۰ پارامتر شبیه زمین، جهت دامنه، ارتفاع، تراکم جمعیت، فاصله از گسل، کاربری اراضی، فاصله از راه‌های اصلی، فاصله تا رودخانه‌های اصلی، جنس زمین (زمین شناسی) و مقدار بارش سالانه؛ از سه شاخص محیطی، کالبدی و اجتماعی انتخاب گردید. نقشه پارامترها در محیط نرم‌افزار ArcGIS تهیی و در محیط نرم‌افزار IDRISI فازی‌سازی شد. وزن دهی پارامترها به روش ANP انجام و با استفاده از تکنیک‌های WLC و OWA نقشه‌ها تلفیق شده و نقشه پهنه‌بندی آسیب‌پذیری منطقه ۷ تهیی شد. نتایج نشان داد که نواحی شرقی و مرکزی، آسیب‌پذیری بیشتری نسبت به سایر نقاط دارند. کلید واژگان: پهنه‌بندی، زلزله، IDRISI، ArcGIS، OWA، WLC.

پرتال جامع علوم انسانی

مقدمه

داشته است. طبیعت و عمق لایه‌های خاک، نفوذ زیادی (Manne & Satyam D, 2011: 192) روی سختی سطح زمین دارد. بافت متراکم، مسائل زیادی برای تأمین ایمنی و اجتناب از خرابی‌های زیاد یا بحرانی فراهم می‌کند. از سوی دیگر، نیازی برای جامعه در برابر هر خطری است که در تماس با اکوسیستم‌های شهری می‌باشد (Georgescu et al., 2014: 2).

رشد سریع زیر ساخت‌های ساحلی، منازل شخصی و دیگر ویژگی‌های مرتبط با شهرسازی و توسعه اقتصادی، مسئله آمادگی برای زمین‌لرزه را که مرتبط با چالش‌های اقتصادی-اجتماعی و آسیب‌پذیری مراکز شهری در برابر مخاطرات طبیعی است، افزایش می‌دهد (Amir et al., 2012: 83). در حالی که مخاطرات طبیعی ادامه می‌یابند تا رخ‌دهند، ظرفیت‌شان به فاجعه یا صرفاً یک رویداد کنترل‌پذیر تبدیل می‌شود که وابسته به فاکتورهای بسیاری شامل: دامنه خطر، آسیب‌پذیری مردم و جوامع آنها، سیستم‌های سیاسی و محیط زیستی ساخته شده است؛ بنابراین، نقشه‌برداری و ارزیابی ریسک خاص مکان باید اولین گام در تلاش پیش‌گیرانه به منظور بهبود انعطاف‌پذیری جوامع باشد (Güze et al., 2013: 2).

جوامع، توانایی تعديل خطر زمین‌لرزه با اتخاذ واکنش‌های رسمی به فاجعه‌ها را دارند (Birkmann et al., 2010: 639) (Martin et al., 2012: 2731) & Martin et al., 2012: 2731 که اساساً در سیاست‌های کاهش ریسک موجودند. کاهش ریسک، یک استراتژی هماهنگ شده براساس اهداف، سیاست‌ها و اقدامات برای به حداقل رساندن تلفات مادی و انسانی حاصل از خطرات و بلایای طبیعی است که به طور معمول در طولانی مدت برنامه‌ریزی شده است (Martin et al., 2012: 2731).

ایمنی زلزله، موضوعی است که در برابر خطر زمین‌لرزه مطرح شده است. از آنجایی که هنوز روش شناخته‌شده‌ای برای تغییر مکانیسم زلزله وجود ندارد، فقط ممکن است خطر زمین‌لرزه در نواحی شهری را به وسیلهٔ شناخت قانون زمین‌لرزه و رفتار آن در نواحی شهری و استفاده از طرح‌ها و استراتژی‌های مناسب در زمینه برنامه‌ریزی شهری، طراحی و روش‌های ساخت به منظور کاهش آسیب‌های

در بیست سال گذشته، زمین‌لرزه‌های مخرب بزرگی در نواحی شهری در سراسر جهان رخ داده است و این امر، محققان را وادار به انجام مطالعات بزرگ مقیاس روی تلفات مورد انتظار ناشی از زمین‌لرزه‌های عمده کرده است؛ از جمله این نوع مطالعات، برآوردن اهداف اصلی برای طراحی استراتژی‌های کاهش خطرات، برنامه‌ریزی اضطراری و اقدامات ترمیمی است (Pitilakis & kakadri, 2011: 10) با وجود سطح بالای عدم قطعیت، زمین‌لرزه‌ها پدیده‌هایی هستند که برای جوامع ما دارای اهمیت‌اند. تلاش‌هایی برای پیش‌بینی زمین‌لرزه و کاهش اثرات آن بر توسعه اقتصادی-اجتماعی جوامع شده؛ در حالی که نتایج به دست آمده درخصوص پیش‌بینی زمین‌لرزه‌ها کمتر موفق بوده است و روندها روى کاهش فرایندها از طریق بررسی عوامل مؤثر در خسارت زمین‌لرزه‌ها متوجه‌اند. مسئله زمین‌لرزه‌ها، کاهش خسارت حاصل از آنهاست که برآورده خسارت زمین‌لرزه‌ها، در ارتباط با برخی از عوامل مؤثر و وابستگی آشکارشان تعیین می‌شود (Jahanpeyma & Delavar, 2011: 5).

زمین‌لرزه‌ها پدیده‌های ژئوفیزیکی عظیم، ناگهانی و کاملاً غیرقابل پیش‌بینی هستند. محل، فرکانس و بزرگی آنها می‌تواند تداخلی منفی با رفتار منظم محیط‌های سیاسی، اقتصادی و اجتماعی جوامع، جمعیت‌ها یا حتی کشورها داشته باشد. شدت فاجعه ایجاد شده به وسیلهٔ رخدادهای زمین‌لرزه، نتیجهٔ تعامل بین پدیده‌های ژئوفیزیکی و جمعیت‌ها؛ یعنی محیط ساخته شده آن است (Oliver-Smith, 2004 & Martins et al., 2012: 2731). شدت زمین‌لرزه به طور گسترده برای ارزیابی سطوح آسیب‌های ناشی از یک زمین‌لرزه استفاده می‌شود. برخلاف مقیاس‌های بزرگ زمین‌لرزه که بیان کننده انرژی‌لرزه‌ای منتشر شده به وسیله زمین‌لرزه است، شدت زمین‌لرزه نشان می‌دهد که چگونه این شدت، یک مکان خاص را تحت تأثیر قرار می‌دهد (Liu et al., 2012: 519). خصوصیات ژئوتکنیکی، یک عنصر مهم در تجزیه و تحلیل خطر زمین‌لرزه است. شرایط خاک محلی، نقش مهمی در تقویت امواج زمین‌لرزه و در تجربه زمین‌لرزه‌های گذشته

هدف از این مطالعه، شناسایی مناطق آسیب‌پذیر، بررسی عوامل تأثیرگذار در آسیب‌پذیری شهر و پهنه‌بندی آسیب‌پذیری مناطق شهری در برابر زلزله در منطقه ۷ شهر تهران با استفاده از نرم‌افزارهای ArcGIS 9.3 و IDRISI با کاربرد مدل‌های WLC و OWA و به کارگیری تکنیک ANP است.

پیشینه تحقیق

تاکنون تحقیقات گوناگونی در ارتباط با آسیب‌پذیری در برابر زلزله با استفاده از روش‌های مختلف انجام گرفته است؛ از جمله:

کریمی سنگ‌چینی و همکاران (۱۳۹۱)، پهنه‌بندی خطر زمین‌لغزش در حوضه آبخیز چهل‌چای استان گلستان را با استفاده از ۴ مدل کمی و نیمه‌کمی شامل مدل آماری دو متغیره تراکم سطح، وزن‌دهی شده با AHP، مدل رگرسیون چند متغیره لجستیک و روش ترکیب خطی وزین WLC مقایسه کرد که مدل AHP به عنوان مدل برتر در حوضه مورد بررسی شناخته شد.

فرج‌زاده اصل و همکاران (۱۳۹۰)، آسیب‌پذیری مساکن شهری در برابر زلزله را در منطقه ۹ شهرداری تهران ارزیابی نموده و از مدل AHP در تحلیل سازگاری کاربری‌ها و از مدل Fuzzy TOPSIS برای ارزیابی آسیب‌پذیری مساکن منطقه ۹ شهرداری تهران استفاده کرد و نتایج نشان داد که منطقه آسیب‌پذیر است.

کامل باسمنج و همکاران (۱۳۹۱)، آسیب‌پذیری لرزه‌ای در منطقه یک شهر تبریز را با استفاده از مدل تحلیلی چند متغیره فضایی ارزیابی کرده و نتیجه گرفتند که محله‌هایی که تراکم جمعیتی بالایی دارند، فاقد بنای‌های محکم بوده و براساس اصول و برنامه‌ریزی ساخته نشده‌اند و آسیب‌پذیری آنها بالاست.

راهمنا و طالعی (۱۳۹۰)، بازسازی مناطق شهری در برابر زلزله را با کمک مدل فازی و GIS اولویت‌بندی نموده و دریافتند که نواحی شمال تهران به علت نزدیکی به گسل و مناطق جنوب و جنوب شرق تهران، به دلیل تراکم جمعیت بالا و تعدد واحدهای ساختمانی در برابر زلزله

(Momenian & Zekavat, 2013: 184)

یکی از مسائلی که امروزه مورد توجه متخصصان رشته‌های گوناگون قرار دارد، مسئله آسیب‌پذیری شهرها در برابر زلزله است که این مسئله در کشورهایی مانند ایران که دارای ساختار طبیعی مخاطره‌آمیز است، به صورت جدی‌تری مورد توجه قرار دارد. ایران یکی از کشورهای زلزله‌خیز جهان است که نود درصد خاک آن روی کمر بند زلزله قرار دارد (شماعی و همکاران، ۱۳۹۲: ۹۶). براساس گزارش سازمان ملل، کشور ایران یکی از کشورهایی است که در زمینه آسیب‌های ناشی از زلزله و تلفات آن رتبه بالایی داشته و در بین سوانح طبیعی، زلزله در ایران بیشتر به وقوع می‌پیوندد. زلزله‌های اخیر در ایران، آسیب‌پذیری مناطق شهری و روستایی را نشان می‌دهد. زلزله‌های بویین زهرا (۱۳۴۱)، رودبار (۱۳۶۹) و بم (۱۳۸۲) که هر کدام تلفات زیادی بر جای گذاشتند (احدىزادروشتی و جلیل‌پور، ۱۳۹۱: ۲۵). کشور ایران از نظر کشته‌های حاصل از زلزله، ۶ درصد تلفات زلزله‌ای جهان را دارد (مودت و ملکی، ۱۳۹۳: ۸۷) و می‌توان گفت علت اصلی تلفات ناشی از زلزله، ساخت‌وسازهای غیراصولی در مناطق مختلف است که باعث چنین فجایعی می‌شوند (احدىزادروشتی و جلیل‌پور، ۱۳۹۱: ۲۵). افزایش جمعیت و مهاجرت روستاییان به شهرها، منجر به ساخت‌وسازهای غیراصولی و توسعه فیزیکی شهرها در مکان‌های نامساعد شده که خواهان هدایت و ساماندهی فضای شهری است (قربانی و همکاران، ۱۳۹۲: ۲). توسعه شهر، روندی مستمر است که باعث می‌شود کالبد شهر به لحاظ کمیت و کیفیت ارتقا یافته و اگر این روند بدون اصول و برنامه صورت گیرد، فضای شهر را با مشکل مواجه خواهد کرد (خواجه‌شکوهی و همکاران، ۱۳۹۱: ۷۳). با وجود این، شهر به عنوان مجموعه‌ای از پدیده‌های انسانی، اجتماعی، فرهنگی و کالبدی تعریف می‌شود تا با اتخاذ روش‌هایی مناسب برای ارزیابی کالبدی و فیزیکی شهر و شاخص‌های آسیب‌پذیری آن، راهکارهایی برای به حداقل رساندن آسیب‌پذیری شهر ارائه کرد (فرج‌زاده اصل و همکاران، ۱۳۹۰: ۲۱).

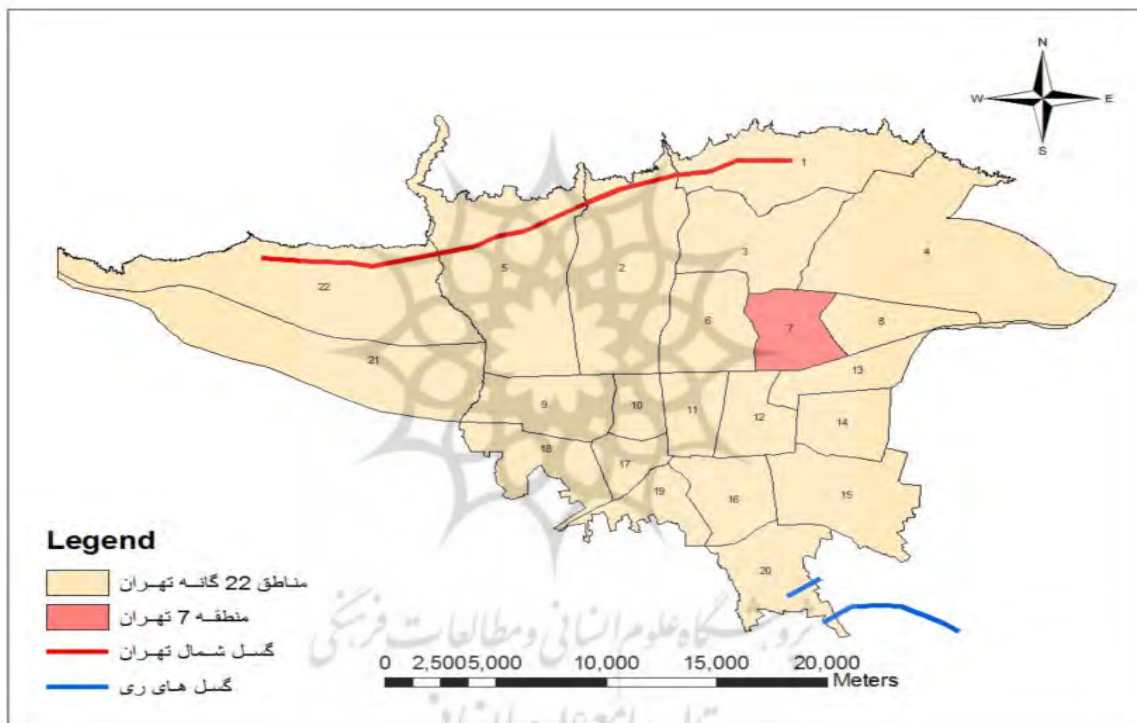
حدود ۲,۱ دارصد مساحت کل تهران را دربرگرفته و از لحاظ وسعت، مقام پانزدهم را در بین مناطق ۲۲ گانه شهر تهران داراست. جمعیت ساکن منطقه در سال ۱۳۹۰، حدود ۳۲۹,۹۲۰ نفر بوده و تراکم نسبی جمعیت نیز حدود ۲۰,۳۱۴ در هر کیلومتر مربع است. این منطقه از شمال به منطقه ۳ و ۴، از جنوب به مناطق ۱۲ و ۱۳، از غرب به منطقه ۶ و از شرق به منطقه ۸ محدود است. منطقه مذکور، دارای ۵ ناحیه و ۱۶ محله است (جهانی دولت‌آباد و همکاران، ۱۳۹۲: ۱۹).

آسیب‌پذیرند، در حالی که مناطق غربی و مرکزی تهران آسیب‌پذیری کمتری بعد از وقوع زلزله دارند.

قنبری و همکاران (۱۳۹۲)، پهنه‌بندی آسیب‌پذیری شهرها در مقابل خطر زمین‌لرزه در شهر تبریز را با استفاده از دو مدل تحلیل سلسه‌مراتبی و شاخص همپوشانی مقایسه کردند و نتیجه گرفتند که شهر تبریز در برابر زلزله وضعیت مطلوبی ندارد

مواد و روش‌ها

منطقه ۷ شهرداری تهران یکی از مناطق واقع در پهنه مرکزی تهران با مساحت ۱,۵۳۶,۸۰۰ متر مربع است که



شکل ۱. موقعیت منطقه مورد مطالعه و گسل‌های موجود در شهر تهران

منبع: نویسنده‌گان، ۱۳۹۴

جمع‌آوری شده با توجه به روش فازی و با بهره‌گیری از مدل‌های مورد استفاده و نرم‌افزار سیستم اطلاعات جغرافیایی صورت پذیرفته است.

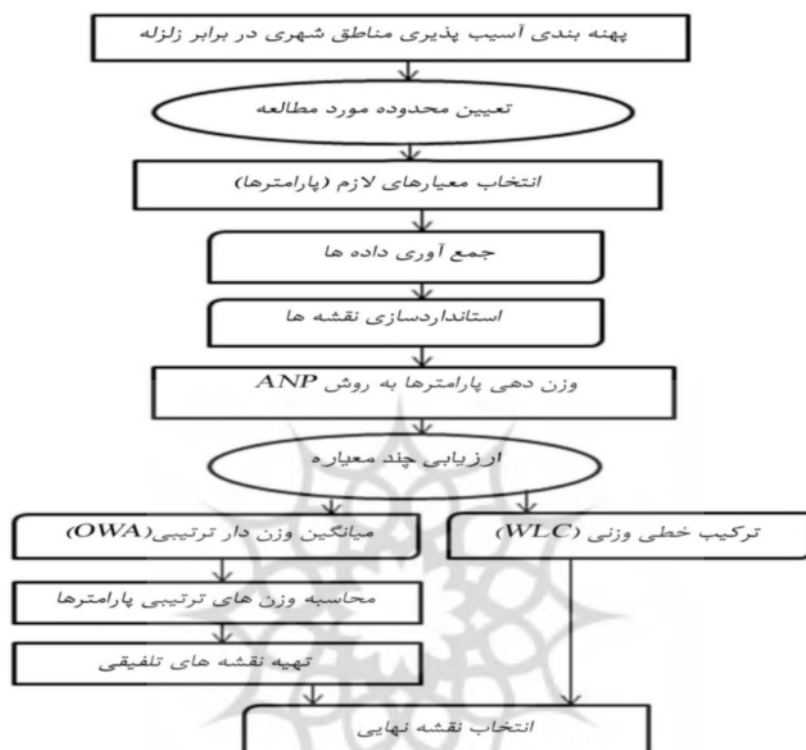
در ابتدا با مطالعه تحقیقات پیشین در زمینهٔ موضوع مورد مطالعه، ۱۰ پارامتر مؤثر از سه شاخص در آسیب‌پذیری منطقه ۷ تعیین شده که شاخص‌های محیطی شامل شیب زمین، جهت دامنه، ارتفاع، فاصله از گسل، فاصله تا رودخانه‌های اصلی و مقدار بارش سالانه هستند.

الف- روش شناسی

این مطالعه از نظر روش جزء تحقیقات توصیفی-تحلیلی و به لحاظ نوع، جزء تحقیقات کاربردی است. روش کار بر مبنای تجزیه و تحلیل لایه‌های اطلاعاتی در محیط نرم‌افزارهای ArcGIS و IDRISI بوده و از روش ANP برای وزن دهی معیارها استفاده شده است. برای انجام تحقیق، منطقه ۷ استان تهران به عنوان منطقه مورد مطالعه انتخاب شده است. تجزیه و تحلیل اطلاعات

بدست آمده در محیط نرم‌افزار IDRISI فازی شدند. در مرحله بعد، پارامترها با استفاده از روش ANP وزن دهی شدند. سپس نقشه‌ها با روش ترکیب خطی وزنی WLC و روش میانگین‌گیری وزن دار ترتیبی OWA روی هم‌گذاری شده و درنهایت، نقشه ترکیب نهایی به دست آمد.

شاخص‌های کالبدی شامل فاصله از راه‌های اصلی، زمین‌شناسی و کاربری اراضی و شاخص اجتماعی شامل تراکم جمعیت است. سپس با استفاده از نقشه‌های توپوگرافی (۱/۲۵۰,۰۰۰) و نقشه‌های زمین‌شناسی (۱/۲۵,۰۰۰) منطقه، داده‌های موجود تهیه و نقشه‌های



شکل ۲. فلوچارت مراحل پژوهش

منبع: نویسندها، ۱۳۹۴

جهت: عوامل مؤثر بر زمین‌لرزه به دو دسته تقسیم می‌شود: عوامل پویا و استاتیک. عوامل استاتیک شامل شب، جهت، ویژگی‌های تکتونیک و ساختاری، رودخانه و پوشش زمین است درحالی که عوامل پویا شامل بارش و زلزله‌خیزی است (Pareek et al, 2013: 50). در این پژوهش، بیشترین آسیب‌پذیری در جهت‌های شمال شرقی و جنوب غربی بوده و جهت جنوب شرقی آسیب‌پذیری کمتری را در برابر زلزله نشان می‌دهد (شکل شماره (۳) B).

ارتفاع: در ارتفاعات بالاتر به دلیل ناپایداری، خطر زمین‌لغزش بیشتر است؛ زیرا در ارتفاعات بالا، انرژی بیشتر بوده و بارش بیشتری دریافت می‌شود؛ در نتیجه، زمین

ب- مبانی نظری تحقیق

معرفی شاخص‌های آسیب‌پذیری شاخص‌های محیطی

شیب: یکی از عوامل درونی مؤثر در آسیب‌پذیری شهرها در برابر زلزله، شیب است. از جمله حوادثی که پس از زلزله ممکن است روی دهد، روانگرایی است که به نوع خاک و شیب زمین بستگی دارد. بنابراین، هر چه شیب زمین بیشتر باشد، آسیب‌پذیری نسبت به زلزله بیشتر می‌شود و بالعکس (احذر از روشی و جلیل‌پور، ۱۳۹۱: ۳۷). در این پژوهش نیز، شیب‌های کمتر از ۵ درصد آسیب‌پذیری کمی داشته و با افزایش درصد، آسیب‌پذیری افزایش می‌یابد (شکل شماره (۳) A).

در واحد سطح بوده و به صورت نفر در هکتار بیان می‌شود. به عنوان یکی از پارامترهای بسیار مؤثر در آسیب‌پذیری مناطق شهری است، به طوری که هر چه تراکم جمعیت در شهر بیشتر بوده و این جمعیت به صورت نامتعادل توزیع شده باشد؛ آسیب‌پذیری در برابر زلزله بیشتر بوده و تلفات و خسارت‌های بیشتری را نیز سبب می‌شود (موّدت و ملکی، ۱۳۹۳: ۹۱).

۳. شاخص‌های کالبدی

فاصله از راه‌های اصلی: میزان تراکم حرکات توده‌ای با فاصله از جاده کاهش می‌یابد؛ در نتیجه، هر چه فاصله از جاده بیشتر باشد، آسیب‌پذیری نسبت به زلزله کاهش می‌یابد (عبدینی و قاسمیان، ۱۳۹۴: ۲۱۶). در این پژوهش نیز نقاط نزدیک به جاده آسیب‌پذیرتر بوده و هرچه فاصله از جاده بیشتر می‌شود، آسیب‌پذیری کاهش می‌یابد (شکل شماره (۳) E).

زمین‌شناسی: ساختارهای زمین‌شناسی از نظر رفتار در برابر امواج زمین‌لرزه، یکی از پارامترهای مهم وقوع زلزله هستند؛ به طوری که هر چه این ساختارها سخت‌تر باشند، توان انتقال امواج زمین‌لرزه کم شده و قدرت تخریبی زلزله کاهش می‌یابد (کامل باسمنج و همکاران، ۱۳۹۱: ۱۳۴)

کاربری اراضی: کاربری زمین‌های شهری باید به صورت برنامه‌ریزی شده باشد تا آسیب‌پذیری در برابر زلزله کاهش یابد. اگر کاربری زمین‌های شهری به گونه‌ای باشد که باعث عدم تمرکز شده و کاربری‌ها ناسازگار در کنار هم قرار داده نشوند، می‌توان تا حد زیادی آسیب‌پذیری ناشی از زلزله را کاهش داد (قنواتی و شیخی، ۱۳۸۹: ۳۸).

(ANP) فرایند تحلیل شبکه‌ای

فرایند تحلیل شبکه، یکی از تکنیک‌های جدید تصمیم‌گیری چند معیاره است (پورخیاز و همکاران، ۱۳۹۲: ۱۵۷) که توسط توماس ساعتی در سال ۲۰۰۱ معرفی شده است. این روش کامل‌تر و توسعه‌یافته‌تر از روش تحلیل سلسله‌مراتبی AHP است، به طوری که معایب AHP را نداشته و از یک ساختار شبکه‌ای استفاده می‌کند که در آن تمامی معیارها بر هم تأثیرگذارند (رضوی‌طوسی

بیشتر مستعد لغزش است (عبدینی و ستایشی‌نساز، ۱۳۹۳: ۱۵۲)؛ بنابراین، در ارتفاعات کمتر از ۱۲۵۰ متر، آسیب‌پذیری کمتر بوده و ارتفاع بیش از ۱۳۵۰ متر بیشترین آسیب‌پذیری را در برابر زلزله نشان می‌دهند (شکل شماره (۳) C).

فاصله از گسل: گسل‌ها از عوامل اصلی تأثیرگذار در وقوع زمین‌لغزش هستند؛ به طوری که زمین‌لرزه اغلب درنتیجه حرکت گسل‌ها به وجود می‌آیند. هر چه نقاط شهری در فاصله کمتری از گسل‌ها قرار داشته باشند، آسیب‌پذیری‌شان نسبت به زلزله بیشتر می‌شود و بالعکس. به همین دلیل، کارشناسان حداقل فاصله سازه‌ها از گسل را ۳۰۰ متر در نظر گرفته‌اند (کامل باسمنج و همکاران، ۱۳۹۱: ۱۳۴). با وجود اینکه گسل‌ها از عوامل اصلی آسیب‌پذیری در برابر زلزله هستند؛ اما به دلیل اینکه منطقه مورد مطالعه فاقد گسل است و با توجه به اینکه فاصله منطقه از گسل‌های شمال و ری به ترتیب ۷ و ۱۲ کیلومتر است (شکل شماره (۱))؛ تأثیر آنها در حد متوسط بوده و در وزن دهی به پارامترها، به پارامتر گسل امتیاز کمتری داده شد.

فاصله از رودخانه‌های اصلی: شبکه‌های هیدروگرافی نیز یکی از عوامل تأثیرگذار در وقوع زلزله هستند. هر چه فواصل از رودخانه‌ها در زمان وقوع زمین‌لغزش بیشتر باشد، آسیب‌پذیری کمتر خواهد بود (حجازی، ۱۳۹۳: ۱۴۵). رودخانه دارآباد از داخل منطقه عبور می‌کند؛ لذا در فاصله ۰ تا ۵۰۰ متری از رودخانه، بیشترین آسیب‌پذیری و در فواصل بیش از ۳۰۰۰ متری کمترین آسیب‌پذیری نشان داده شده است (شکل شماره (۳) F).

مقدار بارش سالانه: مقدار بارش و نفوذ آب در خاک، یکی از عواملی است که می‌تواند در وقوع زمین‌لغزش نقش داشته باشد اما بایستی با پارامترهای مؤثر دیگری سنجیده شود و به تنها‌یی عامل وقوع زمین‌لغزش نیست (عبدینی و قاسمیان، ۱۳۹۴: ۲۱۷)

۲. شاخص‌های اجتماعی

تراکم جمعیت: تراکم جمعیت تنها شاخص اجتماعی مورد استفاده در این پژوهش است که برابر تعداد جمعیت

رتبه‌بندی امتیازها برای تعیین بهترین گزینه (ویسی ناب و همکاران، ۱۳۹۴: ۴۹). در این پژوهش تکنیک WLC در محیط IDRISI و با استفاده ازتابع MCE انجام شد.

میانگین‌گیری وزن‌دار ترتیبی (OWA)

روشی برای رتبه‌بندی معیارها و پرداختن به عدم اطمینان اثر متقابل آنهاست که نخستین بار در سال ۱۹۸۸ توسط یاگر معرفی شد. این روش شامل وزن‌های ترتیبی (WJ) می‌باشد که با وزن‌های معیار (wj) متفاوت است. وزن‌های ترتیبی به ارزش معیارها اختصاص داده می‌شوند؛ اما وزن‌های معیارها به معیارهای مورد استفاده اختصاص می‌یابند. در روش OWA می‌توان دامنه وسیعی از نتایج را به دست آورد؛ به طوری که این روش منجر به درجه‌بندی پیوسته سناریوهایی بین عملگر اشتراک (خطر ناسازگاری ریسک‌ناپذیری) و عملگر اجتماع (ریسک‌پذیری) می‌شود که عملگر اشتراک (AND) ریسک پایین را نشان می‌دهد و عملگر اجتماع (OR) ریسک بالا را در تصمیم‌گیری نشان می‌دهد (رهنمای همکاران، ۱۳۹۱: ۹۲). عملگر OWA با استفاده از معادله شماره (۲) قابل استنتاج است (طالعی و همکاران، ۱۳۹۳: ۱۴۵)؛ معادله شماره (۲) :

$$OWAi = \sum_{j=1}^n \left(\frac{w_{jw_j}}{\sum_{j=1}^n w_{jw_j}} \right) Z_{ij}$$

که در آن $z_{i1} \geq z_{i2} \geq \dots \geq z_{in}$ به طریق ترتیب ارزش‌های یک معیار (x_{ij}) به دست می‌آید. WJ وزن ترتیبی و w_{jw_j} وزن معیار است. وزن‌های ترتیبی جهت ترکیب معیارهای وزن‌دار استفاده می‌شوند که در آن‌ها وزن‌ها به موقعیت مکانی پیکسل‌های لایه‌ها اختصاص می‌یابند. به عبارت دیگر، تمام پیکسل‌هایی که در یک موقعیت در چند نقشه قرار گرفته‌اند، وزن‌های ترتیبی یکسانی را می‌پذیرند. با استفاده از کمیت‌سنچ‌های مفهومی فازی می‌توان وزن‌های ترتیبی ساخت. کمیت‌سنچ‌های مفهومی به دو دستهٔ مطلق و نسبی تقسیم می‌شوند. عباراتی مانند «حداقل ۴» و «حدود ۵» جزو کمیت‌سنچ‌های مطلق و کمیت‌سنچ‌های نسبی با عباراتی نظیر «اکثراً (All)»، «غلب (Most)»، «تعداد زیادی (Many)»، «تیمی (Half)»، «برخی (Some) At least»، «اندکی (Few)» و «حداقل یکی (Some)»

و همکاران، ۱۳۹۲: ۷۹). در این مدل تصمیم‌گیری، از روش‌های کمی، کیفی و مقایسه‌ای به صورت همزمان برای جمع‌آوری داده‌ها و تحلیل نتایج استفاده می‌شود. همچنین، به منظور دستیابی به مقیاس‌های نسبی از ماتریس‌های مقایسه‌ای زوجی استفاده می‌گردد (تسليمی و همکاران، ۱۳۹۱: ۳۰). این مدل براساس ریاضیات و الگوریتم روانشناسانه انسان بنا نهاده شده و منطبق بر ساختار ذهن انسان است (نخعی کمال‌آبادی و همکاران، ۱۳۸۹: ۲۴). در سال‌های اخیر ANP به دلایلی چون به روز بودن، وابستگی‌ها و پیچیدگی‌های مسائل مختلف محیط زیستی، در اکثر کارهای محیطی مورد توجه فراوان بوده است (فرجی سبکبار و همکاران، ۱۳۹۰: ۱۵۳).

روش ترکیب خطی وزنی (WLC)

رایج‌ترین تکنیک در تحلیل، ارزیابی چند معیاره است که روش وزن‌دهی جمع‌پذیر و روش امتیازدهی نیز نامیده می‌شود. اساس این روش بر مبنای میانگین وزنی است و تصمیم‌گیرنده مستقیماً بر مبنای اهمیت نسبی معیارها، وزن‌هایی به آنها می‌دهد، سپس با ضرب وزن نسبی در مقدار آن معیار، یک وزن نهایی برای هر گزینه به دست می‌آید. پس از به دست آمدن وزن نهایی گزینه‌ها، گزینه‌ای که بیشترین مقدار را داشته باشد، مناسب‌ترین گزینه برای هدف مورد نظر خواهد بود (رسولی و همکاران، ۱۳۹۱: ۴۵). تکنیک WLC یکی از روش‌های ارزیابی چند معیاره MCE است که مطابق معادله شماره (۱) محاسبه می‌شود (تقی‌زاده دیوا و همکاران، ۱۳۹۲: ۱۳۲)؛ معادله شماره (۱) :

$$S = \sum w_i x_i$$

که در آن S معرف، x_i تناسب سرزمین، w_i وزن فاكتور آام و x_i معرف محدودیت آام است. روش ترکیب خطی وزنی و کاربرد وسیعی در GIS پیدا کرده است. این تکنیک در محیط GIS شامل مراحل زیر است: ۱- مشخص کردن لایه‌های نقشه؛ ۲- استانداردسازی نقشه‌ها؛ ۳- تعیین وزن معیار؛ ۴- ایجاد لایه‌های استاندارد شده وزنی با ضرب لایه‌های نقشه استاندارد شده در وزن‌های متناظر آنها؛ ۵- انجام عملیات همپوشانی نقشه‌های استاندارد شده وزنی و

تصمیم‌گیرنده و افزایش مقدار α باعث کاهش خوش‌بینی شده و بدینی تصمیم‌گیرنده را افزایش می‌دهد (طالع جنکانلو و همکاران، ۱۳۹۴: ۳۲).

در این پژوهش، از کمیت‌سنچ نسبی منظم افزایشی استفاده شده است (جدول شماره ۱).

«one» مشخص می‌شوند. کمیت‌سنچ‌ها، استراتژی‌های تصمیم‌گیری مختلفی را در اختیار تصمیم‌گیرنده قرار می‌دهند؛ به طوری که با تغییر پارامتر α می‌توان مجموعه‌ای از نتایج ارزیابی را برای هدف تصمیم‌گیری به دست آورد. به عبارت دیگر، کاهش مقدار α باعث افزایش خوش‌بینی

جدول ۱. کمیت‌سنچ‌های زبانی متناظر و پارامتر α

All	Most	Many	Half	Some	Few	At least one	Q
$\alpha = 1.000$	$\alpha = 10$	$\alpha = 2$	$\alpha = 1$	$\alpha = .5$	$\alpha = .1$	$\alpha = .0001$	α
AND (min)	—	—	WLC	—	—	OR (max)	استراتژی ترکیبی
به شدت بدینانه	خیلی بدینانه	بدینانه	خنثی	خوب‌بینانه	خیلی خوب‌بینانه	به شدت خوب‌بینانه	استراتژی تصمیم‌گیری

منبع: (جنکانلو و همکاران، ۱۳۹۴: ۳۲)

مقابل زلزله، به ۵ طبقه آسیب‌پذیری خیلی کم، آسیب‌پذیری کم، آسیب‌پذیری متوسط، آسیب‌پذیری زیاد و آسیب‌پذیری خیلی زیاد تقسیم شد. جداول شماره ۲، ۳ و ۴ به ترتیب طبقات آسیب‌پذیری پارامترها، میزان آسیب‌پذیری طبقات جنس زمین (زمین‌شناسی) و میزان آسیب‌پذیری طبقات کاربری اراضی را نشان می‌دهند؛ سپس، نقشه‌ها مطابق شکل شماره (۳) فازی‌سازی شدند.

وزن‌های ترتیبی با استفاده از وزن‌های معیار و به روش زیر تعریف می‌شود (Yager, 1997; Makzewski, 2006؛ فتاحی و آقاجانی، ۱۳۹۱: ۶۵) معادله شماره (۳) :

$$v_j = \left(\sum_{k=1}^j u_k \right)^{\alpha} - \left(\sum_{k=1}^{j-1} u_k \right)^{\alpha}$$

u_k وزن j امین معیار (w_j) است که دوباره مرتب شده است $1 \leq v_j \leq 0$.

یافته‌های تحقیق

در این پژوهش، پارامترها براساس آسیب‌پذیری در

جدول ۲. طبقات آسیب‌پذیری پارامترها

پارامترها	آسیب‌پذیری خیلی کم	آسیب‌پذیری کم	آسیب‌پذیری متوسط	آسیب‌پذیری زیاد	آسیب‌پذیری خیلی زیاد
فاصله از رودخانه‌های اصلی (متر)	بیش از ۳۰۰۰	۳۰۰۰ تا ۲۰۰۰	۲۰۰۰ تا ۱۰۰۰	۱۰۰۰ تا ۵۰۰	صفرا
شیب (درصد)	۲	۵ تا ۲	۵ تا ۸	۱۲ تا ۱۵	صفرا
ارتفاع (متر)	۱۲۰۰	۱۲۰۰ تا ۱۲۵۰	۱۲۵۰ تا ۱۳۰۰	۱۳۰۰ تا ۱۳۵۰	بیش از ۱۳۵۰
فاصله از جاده‌های اصلی (متر)	۳۰۰	۳۰۰ تا ۲۰۰	۲۰۰ تا ۱۰۰	۱۰۰ تا ۵۰	صفرا
تراکم جمعیت (نفر در هکتار)	۱۵۰۰	۱۵۰۰ تا ۲۲۰۰	۲۲۰۰ تا ۲۸۰۰	۲۸۰۰ تا ۳۲۰۰	بیش از ۳۲۰۰

منبع: نویسنده‌گان، ۱۳۹۴

جدول ۳. طبقات جنس زمین (زمین‌شناسی)

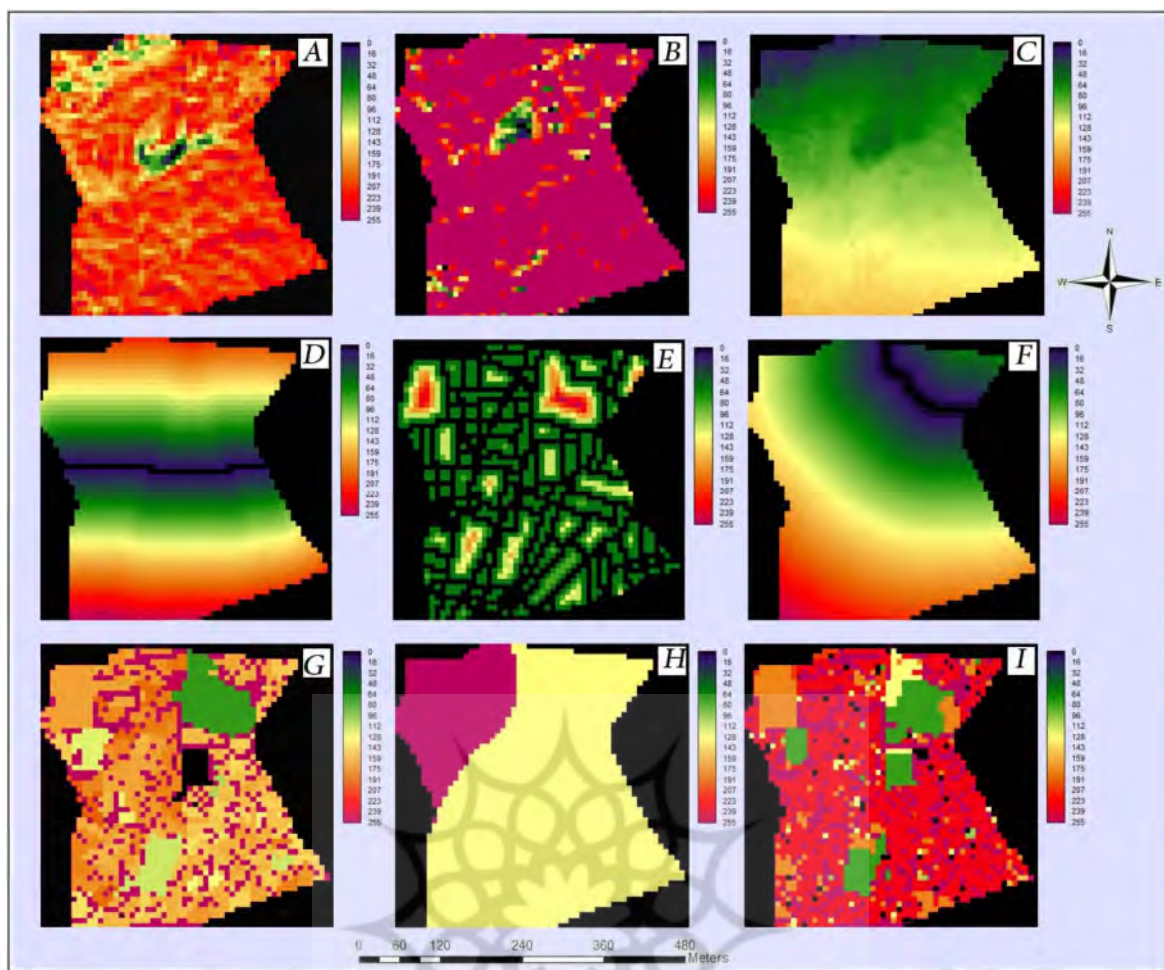
پارامتر	جنس زمین (زمین‌شناسی)	آنالیز
آسیب‌پذیری کم	کنگلومرا	آسیب‌پذیری زیاد
آسیب‌پذیری ابرفتی	آسیب‌پذیری کم	آسیب‌پذیری زیاد

منبع: نویسنده‌گان، ۱۳۹۴

جدول ۴. طبقات کاربری اراضی

پارامتر	آسیب‌پذیری خیلی کم	آسیب‌پذیری کم	آسیب‌پذیری متوسط	آسیب‌پذیری زیاد	آسیب‌پذیری خیلی زیاد
فضای سبز	اداری	خدمات شهری و تجاری و اداری	حمل و نقل و انبارداری و سایر کاربری‌ها	مسکونی و نظامی	صنعتی و کارگاهی
کاربری اراضی	اداری	خدمات شهری و تجاری و اداری	حمل و نقل و انبارداری و سایر کاربری‌ها	مسکونی و نظامی	صنعتی و کارگاهی

منبع: نویسنده‌گان، ۱۳۹۴



شکل ۳. نقشه استاندارد شده پارامترها: (A) شیب؛ (B) ارتفاع؛ (C) جهت؛ (D) میزان بارش؛ (E) فاصله از جاده‌های اصلی؛ (F) فاصله از رودخانه‌های اصلی؛ (G) تراکم جمعیت؛ (H) جنس زمین (زمین‌شناسی)؛ (I) کاربری اراضی.

منبع: نویسنده‌گان، ۱۳۹۴

اول قرار گرفت و سایر گزینه‌ها مطابق جدول شماره ۵، در اولویت‌های بعدی قرار گرفتند و وزن نهایی پارامترها تعیین شد.

محاسبه وزن پارامترها
برای وزن دهی به پارامترها به روش ANP، از نرم‌افزار ANP Super Decision استفاده شده است. در ANP معیارها براساس اهمیت آنها در گزینه‌ها اولویت‌بندی می‌شوند. در این پژوهش، گزینه تراکم جمعیت در اولویت

جدول ۵. وزن نهایی حاصل از روش ANP

پارامترها	وزن	وزن نهایی
تراکم جمعیت	۰/۰۵۱۲۵۳	۰/۰۵۱۲۵۳
فاصله از جاده‌های اصلی	۰/۰۲۶۰۴۵	۰/۰۲۶۰۴۵
شیب	۰/۰۱۶۱۵۰۳	۰/۰۱۶۱۵۰۳
جنس زمین (زمین‌شناسی)	۰/۰۱۱۹۰۸۵	۰/۰۱۱۹۰۸۵
کاربری اراضی	۰/۰۰۸۱۰۳۸	۰/۰۰۸۱۰۳۸
میزان بارش	۰/۰۰۵۷۳۷۵	۰/۰۰۵۷۳۷۵
فاصله از رودخانه‌های اصلی	۰/۰۰۴۰۳۸۷	۰/۰۰۴۰۳۸۷
جهت	۰/۰۰۲۶۹۶۹	۰/۰۰۲۶۹۶۹
ارتفاع	۰/۰۰۲۰۵۹۷	۰/۰۰۲۰۵۹۷
فاصله از گسل	۰/۰۰۱۵۷۴۸	۰/۰۰۱۵۷۴۸

تصمیم‌گیرنده ممکن می‌سازند. به طوری که هر چه مقدار α افزایش پیدا می‌کند، خوش‌بینی تصمیم‌گیرنده کاهش می‌یابد که نشان‌دهنده این است که وزن‌های ترتیبی بالا به معیارهای با اهمیت کمتر اختصاص می‌یابد. همان‌طور که در جدول نشان داده شده است، در بیشتر موارد وزن‌های ترتیبی بالا به پارامترهای با اهمیت کمتر داده شده و پارامترهای با اهمیت بیشتر وزن ترتیبی کمتری دارند؛ بنابراین، با کاهش α شدت آسیب‌پذیری نیز کاهش می‌یابد.

در مرحله بعد با استفاده از وزن‌های به دست آمده از روش ANP، اقدام به محاسبه وزن‌های ترتیبی (OWA) مطابق جدول شماره ۶ شد. وزن‌های ترتیبی مختص موقعیت مکانی پیکسل‌ها بوده و روشی برای ترکیب معیارهای وزن‌دار است. وزن‌های ترتیبی به تصمیم‌گیرنده کمک می‌کند تا معیارهای با اهمیت بیشتر را با همان اهمیت در تصمیم‌گیری دخالت دهد. به عبارت دیگر، این وزن‌ها سطح ریسک‌پذیری و جبران‌کنندگی را برای

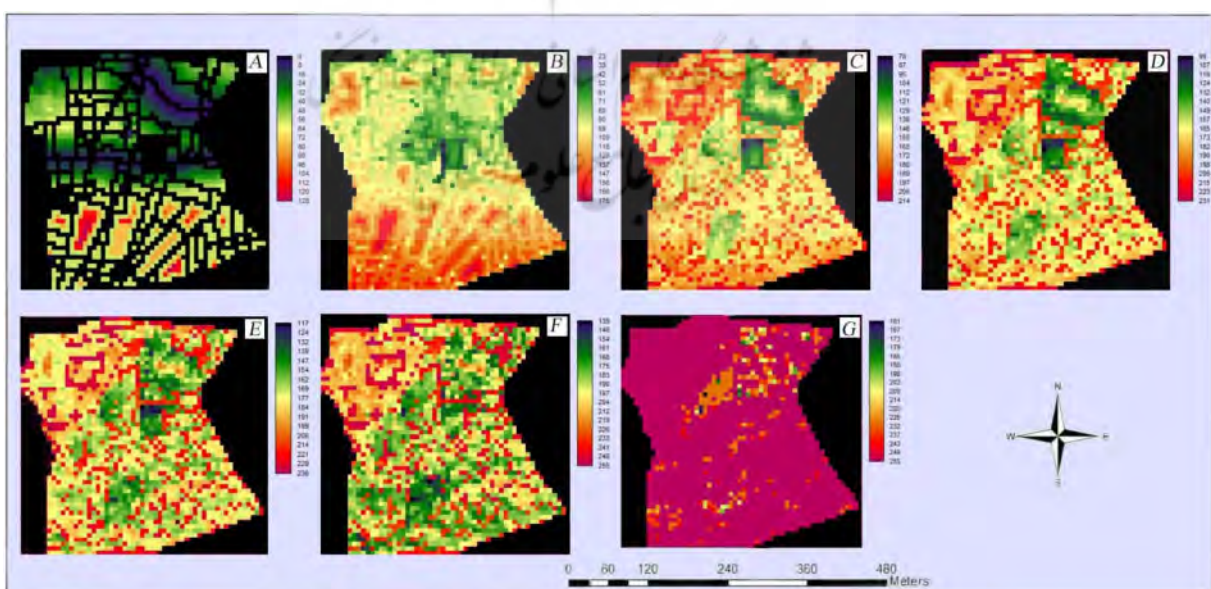
جدول ۶ وزن‌های ترتیبی به دست آمده به روش OWA

All AND (MIN)	Most	Many	Half WLC	Some	Few	At least one OR (MAX)	پارامترها
$\alpha = 1 \dots$	$\alpha = 1 \cdot$	$\alpha = 2$	$\alpha = 1$	$\alpha = . / \delta$	$\alpha = . / 1$	$\alpha = . / \dots \cdot 1$	
۱	. / ۱۴	. / ۰۳	. / ۰۱	.	.	.	تراکم جمعیت
.	. / ۱۶	. / ۰۴	. / ۰۲	. / ۰۱	.	.	فاصله از جاده‌های اصلی
.	. / ۱۷	. / ۰۵	. / ۰۲	. / ۰۱	.	.	شیب
.	. / ۱۸	. / ۰۷	. / ۰۴	. / ۰۲	.	.	جنس زمین (زمین‌شناسی)
.	. / ۱۶	. / ۱	. / ۰۵	. / ۰۳	.	.	کاربری اراضی
.	. / ۱۱	. / ۱۲	. / ۰۸	. / ۰۴	. / ۰۱	.	میزان بارش
.	. / ۰۵	. / ۱۶	. / ۱۱	. / ۰۷	. / ۰۱	.	فاصله از رودخانه‌های اصلی
.	. / ۰۱	. / ۱۸	. / ۱۶	. / ۱۱	. / ۰۳	.	جهت
.	.	. / ۱۶	. / ۲۲	. / ۱۹	. / ۰۵	.	ارتفاع
.	.	. / ۰۶	. / ۲۵	. / ۵	. / ۸۷	۱	فاصله از گسل

منبع: نویسندها، ۱۳۹۴

تلفیق شده پارامترها مطابق شکل شماره ۴ به دست آمده و نواحی آسیب‌پذیر در برابر زلزله مشخص شدند.

پس از محاسبه وزن‌های ترتیبی با استفاده از تصاویر فازی شده و وزن‌های به دست آمده به روش ANP، نقشه‌های



شکل ۴. پهنه‌بندی آسیب‌پذیری منطقه ۷ تهران در برابر زلزله

منبع: نویسندها، ۱۳۹۴

مدل‌های OWA و WLC در محیط نرم‌افزار IDRISI مورد تجزیه و تحلیل قرار گرفت. با توجه به داده‌های حاصل از مدل OWA که مدل WLC نیز یک نمونه از آن است، پارامترها براساس کمیت‌سنج‌های زبانی مختلف بررسی شدند که این کمیت‌سنج‌ها استریتی‌های تصمیم‌گیری مختلفی در اختیار پژوهشگر قرار می‌دهند که از به شدت خوش‌بینانه $\alpha = 1000/0.0001$ تا به شدت بدینانه $\alpha = 1000000/0.0001$ متغیر است و این از مزیت‌های مدل OWA است که امکان تجزیه و تحلیل بهتری را برای پژوهشگر فراهم می‌کند.

با توجه به اینکه منطقه مورد مطالعه فاقد گسل بوده است، اما نتایج حاصل از OWA نشان داد که قسمت‌های شرقی به دلیل تراکم جمعیتی بالا و نزدیکی به رودخانه دارای آسیب‌پذیری بالایی هستند. مناطق مرکزی نیز به دلیل شبیه زیاد و تراکم جمعیتی آسیب‌پذیری نزدیکی به جاده و زمین‌شناسی منطقه نیز از عوامل آسیب‌پذیری منطقه به شمار می‌آید. با بررسی نتایج بدست آمده، تصویر Some پوشش بهتری از آسیب‌پذیری منطقه را به نمایش می‌گذارد. در این تصویر با توجه به جدول شماره ۴، به پارامترهای با اهمیت بیشتر وزن کمتری داده شده است؛ بنابراین، معیارهای با اهمیت کمتر نیز تأثیر خود را اعمال نموده‌اند. در این تصویر، مناطق شمال شرق و مرکز منطقه که تراکم جمعیتی بیشتری دارند، آسیب‌پذیرتر بوده و نزدیکی به جاده‌های اصلی و شبیه منطقه نیز در این نواحی در طبقه با آسیب‌پذیری زیاد قرار می‌گیرد. همچنانی، با توجه به اینکه قسمت اعظم منطقه کاربری مسکونی است و این عامل خود شرایط را آسیب‌پذیرتر می‌کند؛ لذا سایر نواحی از جمله قسمت‌های جنوبی نیز با آسیب‌پذیری کم تا زیاد نشان داده شده است.

مقایسه نتایج این پژوهش تا حدودی با پژوهش انجام شده توسط راهنمای و طالعی در سال ۱۳۹۰ برابر می‌کند. در پژوهش راهنمای و طالعی، گسل به عنوان عامل اصلی آسیب‌پذیری بالای مناطق شمال تهران معرفی شده و عامل اصلی آسیب‌پذیری مناطق جنوب و جنوب شرقی تراکم بالای جمعیت و تعدد واحدهای ساختمانی تعیین شده است. همچنانی، در پژوهشی که توسط قبری و

همان‌طور که در شکل شماره ۴ نشان داده شده است، رنگ‌های آبی و سبز شدت آسیب‌پذیری خیلی زیاد و زیاد را نشان می‌دهند. رنگ زرد آسیب‌پذیری متوسط و رنگ نارنجی و قرمز آسیب‌پذیری کم و خیلی کم را نمایش می‌دهند. در تصویر All که $\alpha = 1000$ بوده و استراتژی تصمیم‌گیری با توجه به جدول شماره ۱، به شدت بدینانه است، بیش از نیمی از منطقه با آسیب‌پذیری بالا و قسمتی نیز با آسیب‌پذیری متوسط نشان داده شده و فقط قسمت‌های کمی از جنوب و جنوب غربی با آسیب‌پذیری کم و خیلی کم نشان داده شده‌اند. در تصویر Most کاهاش $\alpha = 10$ ، قسمت‌های شمالی و مرکزی آسیب‌پذیری بالایی داشته و سایر قسمت‌ها آسیب‌پذیری کم تا متوسط دارند. در تصاویر Many و WLC همان‌طور که نشان داده شده، بیشتر نواحی آسیب‌پذیری متوسط و قسمت‌هایی نیز در شمال شرقی و نواحی مرکزی آسیب‌پذیری بالا دارند که البته نواحی با آسیب‌پذیری بالا در تصویر WLC بیشتر است. در تصویر Some از شدت آسیب‌پذیری نواحی شمالی کمی کاسته شده ولی گستردگی نواحی با آسیب‌پذیری بالا افزایش یافته است. در تصویر Few هر چند ضریب $\alpha = 1/10$ کاهاش یافته اما نواحی با آسیب‌پذیری بالا تا نواحی جنوبی کشیده شده و بیشتر قسمت‌ها آسیب‌پذیری زیاد را نشان می‌دهند. در تصویر At least one یعنی حالت به شدت خوش‌بینانه، منطقه آسیب‌پذیری خیلی کم دارد یا آسیب‌پذیر نیست؛ بنابراین، مقایسه نقشه‌ها نشان می‌دهد که با افزایش α شدت آسیب‌پذیری منطقه افزایش می‌یابد، اما با کاهاش $\alpha = 1/10$ در حالتهای خوش‌بینانه یعنی $\alpha = 0.05$ و خیلی خوش‌بینانه یعنی $\alpha = 1/100$ از شدت آسیب‌پذیری کاسته شده، ولی بر وسعت نقاط آسیب‌پذیر افزوده شده است.

نتیجه‌گیری و پیشنهاد

در پژوهش حاضر، بعد از تعیین پارامترهای آسیب رسان در برابر زلزله، نقشه پارامترها در نرم‌افزار ArcGIS تهیه شد و پس از فازی‌سازی در محیط نرم‌افزار IDRISI و وزن‌دهی آنها، پهنه‌بندی آسیب‌پذیری منطقه ۷ تهران با استفاده از

پورخیاز، حمیدرضا؛ جوانمردی، سعیده؛ یاوری، احمدرضا؛ فرجی سبکبار، حسنعلی (۱۳۹۲). کاربرد روش تصمیم‌گیری چند معیاره و مدل تلفیقی ANP-DEMATEL در آنالیز تناسب اراضی کشاورزی (مطالعه موردی: دشت قزوین). *محیط‌شناسی*. سال ۳۹. شماره ۳. صص ۱۵۱-۱۶۴.

تسليمي، حسن؛ غفارنژاد، ابوالحسن؛ حسن، حسن (۱۳۹۱). اولويت‌بندی تجهيزات بازيافت انرژي در كوره رنگ خودرو براساس معیارهای اقتصادي، زيست محيطی و گرمایش زمين با استفاده از روش ANP. *نشریه مدیریت انرژی*. سال دوم، شماره ۳. صص ۲۸-۳۷.

تقى زاده ديواء، سيدعلی؛ سلمان‌ماهيني، عبدالرسول؛ خيرخواه‌زرکش، مير مسعود (۱۳۹۲). مكان يابي چند معیاري محل دفن مواد زائد ساختمناني با استفاده از رویکرد ترکيبي تحليل سلسleه مراتب فاري. (مطالعه موردی: شهر گرگان). *مجله آميش جغرافياي فضا*. سال سوم. شماره مسلسل دهم. صص ۱۲۲-۱۳۹.

جهانی دولت‌آباد، رحمان؛ شمامی، علی؛ جهانی دولت‌آباد، اسماعيل (۱۳۹۲). سنجش میزان هویت محله‌ای با تأکید بر نقش نهادهای مردمی در منطقه ۷ تهران. *نشریه تحقیقات کاربردی علوم جغرافیا*. سال ۱۳. شماره ۳۱. صص ۲۱۰-۲۱۱.

حجازي، سيد اسدالله (۱۳۹۳). پنهانی بندی خطر زمین لغزش در حوضه گویجه‌بل اهر با استفاده از سیستم اطلاعات جغرافیایی (GIS). *نشریه جغرافیا و برنامه‌ریزی*. سال ۱۸. شماره ۵۰. صص ۱۵۲-۱۳۵.

خواجه‌شکوهی، علیرضا؛ کريمزاده، حسین؛ حسين‌نژاد، مجتبی (۱۳۹۱). پياده‌سازی ماتریس‌های هم‌جواری براي ارزیابی سازگاری کاربری‌های شهری به روش تصمیم‌گیری چند معیاره فازی (مورد مطالعه: کاربری‌های آموزشی دبیرستان شهر گرگان). *جغرافیا و پایداری محیط*. شماره ۵. صص ۹۲-۷۱.

راهنمای، امیرحسین؛ طالعی، محمد (۱۳۹۰). اولويت‌بندی بازسازی مناطق شهری در برابر زلزله به کمک مدل فازی و GIS. *فصلنامه آميش محیط*. شماره ۱۶. صص ۵۱-۷۱.

رسولی، علی‌اکبر؛ محمودزاده، حسن؛ بزدچی، سعید؛ زین‌بال، محمد (۱۳۹۱). ارزیابی روش‌های تحلیل سلسleه مراتبی و ترکیب خطی وزنی در مکان‌یابی محل دفن مواد زائد شهری (مورد شناسی: شهرستان مرند). *جغرافیا و آميش شهری و منطقه‌ای*. شماره ۴. صص ۵۲-۴۱.

رضوی‌طوسی، سیده‌ليلا؛ محمدولی‌سامانی، جمال (۱۳۹۲). اولويت‌بندی مدیریتی تعدادی از حوضه‌های آبریز کشور با استفاده از روش‌های فرایند تحلیل شبکه‌ای (ANP) و الگوريتم ترکيبی

همکاران انجام شده، جمعیت زیاد در نقاط با آسیب‌پذیری بالا ساکن هستند. با توجه به اينکه در اين پژوهش از روش ANP برای وزن دهنی به پارامترها استفاده شده، همه معیارهای به صورت شبکه به هم مرتبط شده است و به علت به کارگیری تکنیک OWA، سناریوهای مختلفی در اختیار تصمیم‌گیرنده قرار داده شده تا بتوانند نتایج را با دقت بیشتری مورد بررسی قرار دهد. به عبارت دیگر هدف تکنیک OWA دستیابی به یک پاسخ نبوده؛ بلکه این تکنیک توانایی‌های دیگری را به نمایش می‌گذارد؛ به عنوان مثال، تکنیک OWA ابزاری برای سطح جبران کنندگی معیارهای فراهم می‌آورد که از این طریق می‌توان به ارزیابی سریع و توضیح سناریوها و وابستگی بین پارامترها دست یافت. توانایی دیگر این روش، ترکیب داده‌های ناسازگار با استفاده از اطلاعات تخصصی، انعطاف‌پذیری در گزینش معیارهای مناسب برای مناطق مختلف و مسائل گوناگون در تصمیم‌گیری فردی یا گروهی و استقلال در گسترش سناریوهایی برای تصمیم‌گیری است. در پایان، پیشنهاد می‌شود که به منظور کاهش آسیب‌پذیری منطقه، با توجه به اينکه بیشترین حجم منطقه را کاربری مسکونی تشکیل می‌دهد، اقداماتی جهت مقاوم‌سازی ساختمان‌ها به خصوص در بخش‌های مرکزی که آسیب‌پذیری بیشتری دارند، صورت گیرد و نیز با توجه به اينکه منطقه دارای تراکم جمیتی بالایی بوده که خود از عوامل اصلی آسیب‌پذیری منطقه می‌باشد، بهتر است مراکز سکونتگاهی و تأسیسات اداری به خارج از منطقه یا در نقاطی که آسیب‌پذیری کمتری داشته و شبیه ملایم‌تری دارند ایجاد گرددند تا با کاهش تمرکز جمعیت در یک نقطه بتوان خسارت‌های ناشی از زلزله، به خصوص تلفات حاصل از آن را تا حدی زیادی کاهش داد

منابع

احذرزاد روشتی، محسن؛ جلیل پور، شهرناز (۱۳۹۱). ارزیابی عوامل درونی تأثیرگذار در آسیب‌پذیری ساختمان‌های شهری در برابر زلزله با استفاده از GIS (نمونه موردی: بافت قدیم شهر خوی). *فصلنامه آميش محیط*. شماره ۲۰. صص ۵۲-۲۳.

محیط GIS، (مطالعه موردي: دشت گربایگان فسا). مجله جغرافيا و برنامه ریزی محیطی. سال ۲۲. شماره پیاپی ۴۴. شماره ۴. صص ۱۴۳-۱۶۶.

قربانی، رسول؛ محمودزاده، حسن؛ تقی‌پور، علی‌اکبر (۱۳۹۲). تحلیل تناسب اراضی (LSA) برای توسعه شهری در محدوده مجموعه شهری تبریز با استفاده از روش تحلیل فرایند سلسه مراتبی. جغرافیا و آمایش شهری - منطقه‌ای. شماره ۸. صص ۱-۱۴.

قنبیری، ابوالفضل؛ سالکی ملکی، محمدعلی؛ قاسمی، معصومه (۱۳۹۲). پهنه‌بندی میزان آسیب‌پذیری شهرها در مقابل خطر زمین‌لرزه (نمونه موردی: شهر تبریز). جغرافیا و مخاطرات محیطی. شماره ۵. صص ۲۱-۳۵.

قنواتی، عزت‌الله؛ شیخی، مسعود (۱۳۸۹). نقش برنامه‌ریزی شهری در کاهش خطر زلزله در بافت‌های فرسوده (مطالعه موردی: منطقه ۱۲ تهران). فصلنامه جغرافیای طبیعی. سال سوم. شماره ۹. صص ۲۹-۴۲.

کامل باسمنج، بتول؛ میرجعفری، بابک؛ علوی، سیدعلی (۱۳۹۱). ارزیابی آسیب‌پذیری لرزه‌ای در منطقه یک شهر تبریز با استفاده از مدل تحلیل چند معیاره فضایی. برنامه‌ریزی و آمایش فضا. دوره ۱۶. شماره ۲. صص ۱۴۰-۱۲۲.

کریمی سنگ‌چینی، ابراهیم؛ اونق، مجید؛ سعدالدین، امیر (۱۳۹۱). مقایسه کارایی ۴ مدل کمی و نیمه کمی پهنه‌بندی خطر زمین‌لغزش در حوضه آبخیز چهل‌چای استان گلستان. مجله پژوهش‌های حفاظت آب و خاک. جلد ۱۹. شماره ۱. صص ۱۹۶-۱۸۳.

مودت، الیاس؛ ملکی، سعید (۱۳۹۳). طیف‌بندی و سنجش فضایی آسیب‌فیزیکی-اجتماعی شهرها در برابر زلزله با به کارگیری تکنیک VIKOR و GIS (مورد شناسی شهر یزد). جغرافیا و آمایش شهری - منطقه‌ای. شماره ۱۱. صص ۸۵-۱۰۳.

نخعی کمال‌آبادی، عیسی؛ امیرآبادی، محمد؛ محمدی‌پور، هیرش (۱۳۸۹). انتخاب استراتژی بهینه براساس تحلیل SWOT و روش فرایند تحلیل شبکه‌ای (ANP) مطالعه موردی: شهرک پتروشیمی اراک. فصلنامه مدیریت صنعتی دانشکده علوم انسانی دانشگاه آزاد اسلامی واحد سندنوج. سال ۵. شماره ۱۱. صص ۲۱-۳۴.

ویسی ناب، فتح‌الله؛ بابایی‌اقدم، فریدون؛ صادقیه‌اهری، سعید؛ اسدی، غلامرضا (۱۳۹۴). مکان‌یابی بیمارستان‌ها با استفاده از مدل تلفیقی خطی وزن‌دار (WLC) در محیط GIS در شهر اردبیل. مجله سلامت و بهداشت. دوره ۶ شماره ۱. صص ۴۳-۵۶.

جدید براساس TOPSIS-ANP فازی. مدیریت آب و آبیاری. دوره ۳. شماره ۲. صص ۹۰-۷۵.

رهنما، محمدمرحیم؛ آقاجانی، حسین؛ فتاحی، مهدی (۱۳۹۱). مکان‌یابی محل دفن زباله با ترکیب روش میانگین‌گیری وزن دار تریتی (OWA) و GIS در مشهد. جغرافیا و مخاطرات محیطی. شماره ۳. صص ۱۰۵-۸۷.

شماعی، علی؛ حیدرزاده، نجمه؛ لطفی‌مقدم، بابک (۱۳۹۲). سنجش عوامل آسیب‌رسان ناشی از زلزله در منطقه یک شهر تهران با استفاده از GIS نشریه جغرافیا و برنامه‌ریزی شهری (دانشکده جغرافیا). سال ۱۷. شماره ۴۳. صص ۹۳-۱۲۲.

طالع جنکانلو، علی؛ طالعی، محمد؛ کریمی، محمد (۱۳۹۴). ارزیابی تناسب اراضی مسکونی به روش فازی TOPSIS-OWA گروهی. نشریه علوم و فنون نقشه‌برداری. دوره ۴. شماره ۴. صص ۴۵-۲۹.

طالعی، محمد؛ سلیمانی، حسین؛ فرج‌زاده اصل، منوچهر (۱۳۹۳). ارزیابی تناسب اراضی برای کشت دیم بر مبنای مدل فائق و با استفاده از تکنیک تلفیقی Fuzzy-AHP-OWA در محیط GIS (مطالعه موردی: شهرستان میانه). نشریه آب و خاک (علوم و صنایع کشاورزی). جلد ۲۸. شماره ۱. صص ۱۵۶-۱۳۹.

عادلینی، موسی؛ ستایشی نساز، حسن (۱۳۹۳). پهنه‌بندی خطر وقوع لنزش با استفاده از تحلیل سلسه‌مراتبی (AHP) (مطالعه موردی: حوضه آبخیز گلجه). نشریه جغرافیا و برنامه‌ریزی. سال ۱۸. شماره ۴۹. صص ۱۶۵-۱۳۹.

عادلینی، موسی؛ قاسمیان، بهاره (۱۳۹۴). پهنه‌بندی خطر زمین‌لغزش در شهرستان بیجار به روش تحلیل سلسه‌مراتبی (AHP). نشریه جغرافیا و برنامه‌ریزی. سال ۱۹. شماره ۵۲. صص ۲۲۷-۲۰۵.

فتحی، مهدی؛ آقاجانی، حسین (۱۳۹۱). الگوهای توسعه مجتمع‌های مسکونی با روش تصمیم‌گیری چند معیاره FUZZY AHP_OWA (MBTI) بر GIS (مطالعه موردی: شهر مشهد). فصلنامه جغرافیا و برنامه‌ریزی شهری چشم‌انداز زاگرس. سال چهارم. شماره ۱۳. صص ۷۵-۵۹.

فرج‌زاده‌اصل، منوچهر؛ احمدزاد، محسن؛ امینی، جمال (۱۳۹۰). ارزیابی آسیب‌پذیری مسکونی شهری در برابر زلزله (مطالعه موردی: منطقه ۹ شهرداری تهران). مطالعات و پژوهش‌های شهری و منطقه‌ای. سال سوم. شماره ۹. صص ۳۶-۱۹.

فرجی‌سیکبار، حسنعلی؛ نصیری، حسین؛ حمزه، محمد؛ طالبی، سمیه؛ رفیعی، یوسف (۱۳۹۰). تعیین عرصه‌های مناسب برای تغذیه مصنوعی بر پایه تلفیق روش‌های ANP و مقایسه زوجی در

- Manne, A., & Satyam, D. N. (2011). Geotechnical site characterization for Vijayawada urban. In Proc. 3rd Indian Young Geotechnical Engineers Conference (3IYGEC), New Delhi. New Delhi: Indian Geotechnical Society (pp. 191-196).
- Martins, V. N., Cabral, P., & Sousa e Silva, D. (2012). Urban modelling for seismic prone areas: the case study of Vila Franca do Campo (Azores Archipelago, Portugal). *Natural Hazards and Earth System Science*, 12(9), 2731-2741.
- Momenian, A., & Zekavat, M. (2013). Seismic approach to urban design. *Life Science Journal*, 10(5s).
- Oliver-Smith, A. (2004). Theorizing vulnerability in a globalized world: a political ecological perspective. *Mapping vulnerability: disasters, development and people*. Earthscan, London, 10-24.
- Pareek, N., Pal, S., Sharma, M. L., & Arora, M. K. (2013). Study of effect of seismic displacements on landslide susceptibility zonation (LSZ) in Garhwal Himalayan region of India using GIS and remote sensing techniques. *Computers & Geosciences*, 61, 50-63.
- Pitilakis, D. K., & Kakderi, G. K. (2011, January). Seismic risk assessment and management of lifelines, utilities and infrastructures. In 5th International Conference on Earthquake Geotechnical Engineering (pp. 10-13).
- Saaty, T. L. (2001). Analytic network process. In *Encyclopedia of Operations Research and Management Science* (pp. 28-35). Springer US.
- Yager, R. R. (1988). On ordered weighted averaging aggregation operators in multicriteria decision making. *Systems, Man and Cybernetics, IEEE Transactions on*, 18(1), 183-190.
- Yager, R. R. (1997). On the inclusion of importances in OWA aggregations. In *The ordered weighted averaging operators* (pp. 41-59). Springer US.
- Amir, L., Cisternas, A., Vigneresse, J. L., Dudley, W., & Mc Adoo, B. (2012). Algeria's vulnerability to tsunamis from near-field seismic sources. *Science of Tsunami Hazards*, Vol. 31, No. 1. 82-98
- Birkmann, J., Buckle, P., Jaeger, J., Pelling, M., Setiadi, N., Garschagen, M., ... & Kropp, J. (2010). Extreme events and disasters: a window of opportunity for change? Analysis of organizational, institutional and political changes, formal and informal responses after mega-disasters. *Natural Hazards*, 55(3), 637-655.
- Georgescu, E. S., Gociman, C. O., Craifaleanu, I. G., Florescu, T., Moscu, C., Georgescu, M. S., & Dragomir, C. S. (2014, August). Urban heritage value and seismic vulnerability mapping: challenges for engineering and architectural assessments. Case study of a protected area in Bucharest, Romania. In Paper submitted to the 2nd European Conference of Earthquake Engineering and Seismology, Istanbul, Turkey.
- Güney, Ö., Aksoy, E., Gel, A. C., Anil, Ö., Gültekin, N., & Akbas, S. O. (2013). An inter-disciplinary approach for earthquake vulnerability assessment in urban areas: A case study of Central District, Yalova. In *Regional Studies Association, Annual European Conference*.
- Jahanpeyma, M., Delavar, M. R., Malek, M. R., & Kamalian, N. (2011). Analytical evaluation of uncertainty propagation in seismic vulnerability assessment of Tehran using GIS. *Journal Civil Eng Urban*, 05-09.
- Liu, J. G., Mason, P. J., Yu, E., Wu, M. C., Tang, C., Huang, R., & Liu, H. (2012). GIS modelling of earthquake damage zones using satellite remote sensing and DEM data. *Geomorphology*, 139, 518-535.
- Malczewski, J. (2006a). GIS-based multicriteria decision analysis: a survey of the literature. *International Journal of Geographical Information Science* 20 (7), 703-726.